

## KAVACIK (Beykoz-İstanbul) DOLAYININ JEOLOJİSİ VE TAŞ OCAĞI PATLAMALARININ ÇEVRE BİNALARA ETKİSİNİN BELİRLENMESİ

Mehmet AKARTUNA - Osman YILMAZ - Semih ULAKOĞLU

İ.U. Mühendislik Fakültesi, Jeoloji Mühendisliği Bölümü, İstanbul

Tayfun EVERGEN

I.T.U. Maden Fakültesi, Maden Mühendisliği Bölümü, İstanbul

**ÖZ:** İstanbul İli Beykoz İlçesine bağlı Kavacık mahallesinin, civarda bulunan taş ocağı patlatmalarından ne derece etkilendiği araştırılan bu incelemede; adı geçen inceleme alanının Paleozoyik'e ilişkin Alt, Orta, Üst Devoniyen çökelleri ile Senozoyik'e ilişkin Pliyosen ve Holosen sedimanlarından oluşturduğu gözlenmiştir. Bu formasyonlardan, Devoniyen yaşlı olanları kireçtaşı, grovak ve şeyllerden, Pliyosen yaşındaki ise, çakılı kumlu kili gevşek sedimanlardan, Holocene ait olanı da alüvyondan oluşmaktadır. Paleozoyik yaşlı formasyonları yer yer andezit ve diyabaz dayakları kesmektedir. Bu formasyonlar üzerinde bulunan Kavacık mahallelerinin, taş ocağı merkezinden 230 metre dışında kalanlarının düzenli ve kontrollü patlatmalardan etkilenmeyeceği, aksi halde 230 metre yarıçaplı alan içinde kalan binaların düzensiz, kontroksuz yapılacak patlatmalarдан hasar ve zarar görülebileceği anlaşılmaktadır.

**ABSTRACT:** In this study, it is investigated to which degree, Kavacık, district of Beykoz in Istanbul, had been effected by the explosions of the quarry center; it is observed that the investigated area, which is stated before, consists of Lower, Middle, Upper Devonian deposits that are related to Paleozoic, and Pliocene and Holocene Sediments which are belonged to Senozoic. When we consider these formations, we see that Devonian aged ones consist of limestone, graywacke, shale. On the other hand, Pliocene aged ones consist of pebble, sand, clay, disjoint sediments and Holocene aged ones consist of alluvium. Besides Paleozoic aged formations are cut by andesite and diabase dykes at some places. It is understood that the buildings in Kavacık, which are overlaid on these formations and 230 meters away out of the quarry center, are't effected by the regular and controlled explosions. Other wise the buildings, which are in the area with a radius of 230 meters could be damaged by the irregular and uncontrolled explosions.

### 1—GİRİŞ

Bu çalışma, 24 Mart 1989 tarihinde, İşiveren STFA-IGL/JV ile İstanbul Üniversitesi Mühendislik Fakültesi arasında imzalanan protokol gereğince 1989 Mart-Mayıs döneminde gerçekleştirilmiştir. Çalışmanın amacı, STFA-IGL/JV Kinalı-Sakarya Otoyolu Mütahhitliği Konsorsiyumu tarafından 1986 Ağustos ayından itibaren işletilen Kavacık Taş Ocağındaki patlatmaların yakın çevredeki binalara etkisini belirlemektir.

#### 1.1. COĞRAFİK DURUM

Inceleme alanı, İstanbul İli Beykoz İlçesine bağlı Kavacık mevkii ve yakın çevresidir (Şek. 1). İstanbul Boğazının Batı yakasında yer alan Anadoluhisarı doğusunda bulunan bu alan tatlı meyilli bir topografiya sunar.

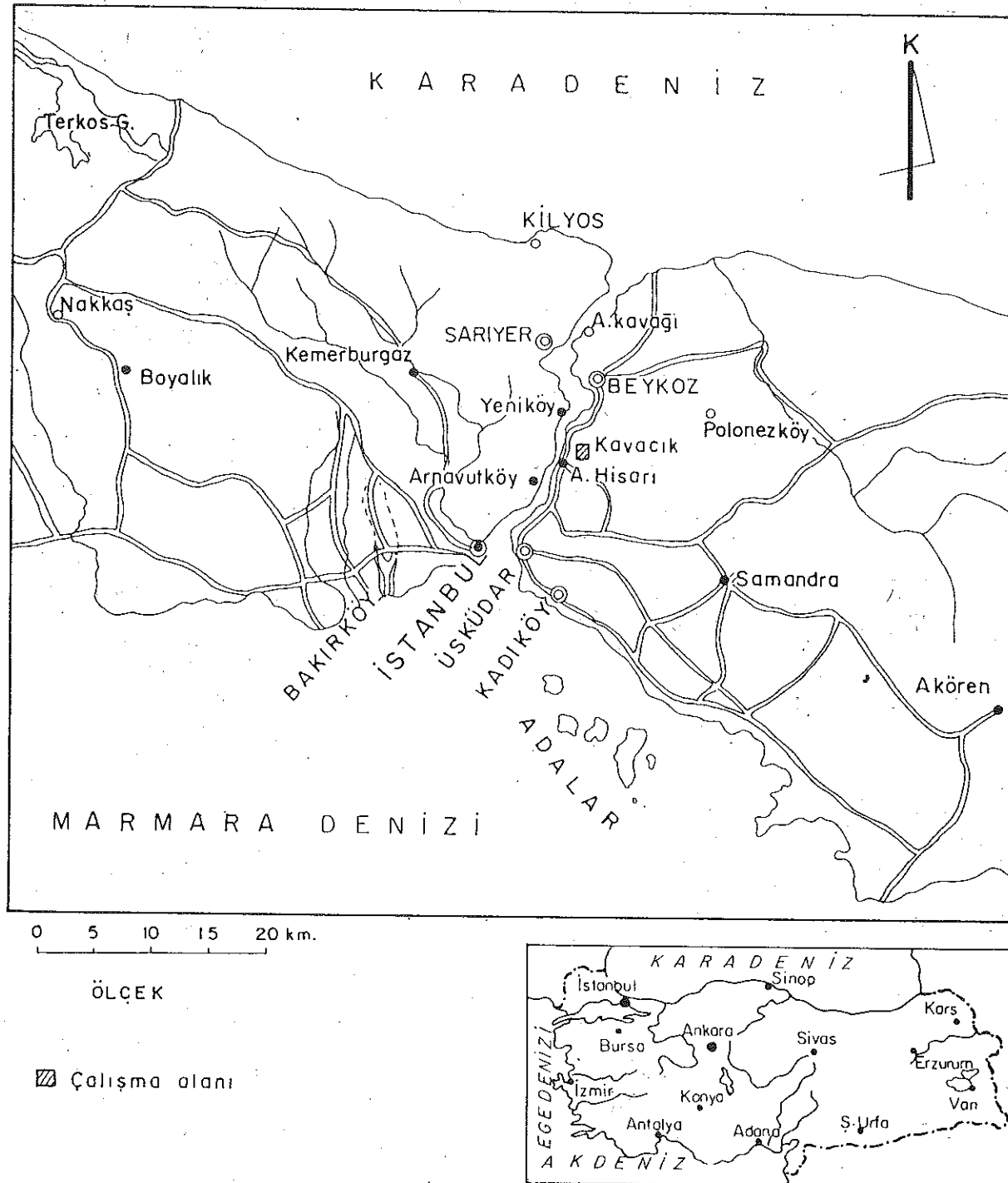
Morfoloji, litolojik birimlerin aşınma dayanumuna ve yapıya bağlı olarak gelişmiştir. Orta yükseklikteki tepeleri, yer yer orta derinlikteki dereler kesmektedir.

Ancak bu dereeler içerisinde geniş ve yayvan bir vadiye sahip olanı, Göksu derenin kuzeydoğu koludur. Bu koluñ yukarı ucunda, kireçtaşı ocakları bulunmaktadır (Ek. I).

Araştırma sahası Karadeniz'in kuzey rüzgârına açık olup, kişileri yağışlı ve soğuk, yazıları kurak ve serin geçmektedir. Yağışlar en fazla Aralık ayındadır. En kurak aylar ise Temmuz-Ağustos ayları olarak görülmektedir. En soğuk ay ortalaması  $5,4^{\circ}\text{C}$  ile Ocak, en sıcak ay ortalama ise  $22^{\circ}\text{C}$  ile Ağustos aylarıdır.

Bitki örtüsü ise; yerleşim alanlarının dışındaki yerler maki ve fundalıklardan oluşmaktadır. Yerleşim alanlarında süs ve meyve ağaçları göze çarpmaktadır.

Arazide ulaşım fevkalade iyi durumda olup, genellikle ana yollar asfalt, tali yollar ise stabilize kaplamadır. Ayrıca yapılmakta olan yeni inşaatlara ulaşan yollar şimdilik toprak yol durumundadır.



Şekil 1: Çalışma alanını gösterir yer bulduru haritası.

## 1.2. YAPILAN ARAŞTIRMALAR

İlk aşamada, Kavacık Taş Ocağı ve yakın çevresinin bölgесel jeolojik konumu belirlenmiştir. Daha sonra, 1/5000 ölçekli İSTANBUL-C-III-15 topografya haritasının 2.25 km<sup>2</sup>'lik kesimini ayrıntılı jeolojik haritası yapılmıştır (Ek. I).

1/3000 ölçekli krokide (Şek. 4), 40 binanın konumları işaretlendikten sonra, hasar durumları ile ilgili anketleri yapılmıştır (Akartuna ve dig., 1989).

Bina zeminlerindeki jeolojik gözlem ve bulgular sayesinde, 1/5000 ölçekli jeoloji haritasının nihai kontrolü yapılmış, Kavacık Taş Ocağı ve yakın çevresinin ayrıntılı jeoloji haritası ortaya çıkarılmıştır (Ek. I).

Kavacık Taş Ocağına ait, 1986 Ağustos ayından 1989 Nisan ayına kadar tutulan resmi patlayıcı madde kayıtları incelenmiş (Akartuna ve dig., 1989), oacta açılan deliklerin geometrisi, delik patlayıcı madde şartları ve ateşleme devre tanzimleri hakkında, yerinde, bilgiler derlenmiştir.

## 2. KAVACIK TAŞ OCAĞI VE YAKIN ÇEVRESİNİN JEOLOJİSİ

### 2.1. STRATIGRAFİ

Araştırma alanında mevcut formasyonlar Paleozoyik ve Senozoyik yaşı kayaçlara ilişkin olup, genellikle Paleozoyik temel ve üzerindeki Senozoyik örtüden ibaret tir. Bu formasyonlar çeşitli kayaçlardan oluşur. Arazideki konumlarına göre alttan üste doğru birimlerin özellikleri aşağıda sıralanmaktadır.

#### İstinye Formasyonu:

Temeli oluşturan bu formasyon koyu gri veya mavimtrak kalsit damarlı kireçtaşından oluşmaktadır. İnceleme alanında temeli görülmeyen İstinye formasyonu üstte doğru Kartal formasyonuna uyumlu olarak geçmektedir. Bu formasyon PAECKELMANN (1938), BAYKAL-KAYA (1963) ve ÖNALAN (1981) tarafından incelenmiş olup, "İstinye Formasyonu" olarak adlandırılmıştır. Eski ve yeni taşoacı çevresinde Göksu deresinin kuzeydoğu kolu vadisinde mostra veren bu kireçtaşı birimi, 0,1 km<sup>2</sup>'lik bir alanda yüzeylemektedir. Formasyon kalınlığı yaklaşık 100 metre dolayındadır. Oldukça kalın tabakalı, koyu renkli bu kireçtaşı birimi; yer yer karstik erimesi, çatlaklı ve çatlakları kalsit dolgulu olup, kompakt bir özelliğe sahiptir.

Petrografik analizinden anlaşıldığı üzere; İstinye formasyonu kireçtaşı, sparitik bir doku sunmaktadır. Oldukça homojen kimyasal ve mineralojik bir bileşime sahip olan birim, yer yer opak mineraler ve bir miktar kil ile bi-

tüm içermektedir. Şelf ortamında çökeldiği anlaşılan formasyonun yaşı Alt Devoniyendir.

#### Kartal Formasyonu:

Kartal formasyonu, kahverenginin tonlarında, daha çok şeyl litolojisi ve bu litoloji ile yer yer ardalanın grovaklardan oluşur. Birim, temelindeki İstinye formasyonu ile ve üstündeki Tuzla formasyonuyla (yumrulu kireçtaşı) uyumlu bir konumdadır. Formasyon PAECKELMANN (1938), HASS (1968), KAYA (1973) ve ÖNALAN (1981) gibi araştırmalar tarafından incelenmiş olup, "Kartal Formasyonu" olarak adlandırılmıştır.

Sahada geniş bir alana yayılmış olan grovak-şeyl ardalanması yaklaşık 1.75 km<sup>2</sup>'lik bir alanda yüzeylemektedir. Formasyonun yaklaşık kalınlığı 400 metre olarak hesap edilmiştir. Orta kalınlıkta tabakalanma gösteren birimin, ayrılmış kesimleri sarımtırak, açık kahverenkli taze kesimleri ise koyu yeşilimsi gri ve koyu kahverenkli görülmektedir. Çok eklemlili ve kırıklı olan bu formasyonun tektonizmadan fazla etkilendiği anlaşılmaktadır. Birim yer yer kalsit damarları ile kesilmiş olup, masif kesimlerinde formasyonun daha sağlam bir görünüm sunduğu görülür. Ayrılmaya çok elverişli olan litoloji üzerinde 1-2 metreye varan bir toprak örtüsü oluşmuştur.

Petrografik incelemelere göre; şeyller, başta silt-kil bileşeni olmak üzere katışık mineral olarak da opak mineral, serisit, kaolinize feldspat, kuvars ve demiroksitleri içermektedir. Grovaklar ise, kum-kil başta olmak üzere kuvars kaolinize feldspat, serisit, klorit ve demiroksitleri kapsar.

Kartal formasyonunun tipik şelf ortamında çökeldiği anlaşılmaktadır. Birimin yaşı Orta Devoniyendir.

#### Tuzla Formasyonu (Büyükada Fm.)

Tuzla formasyonu, koyu gri-gri renkli ince yumru lu kireçtaşları ile temsil olunur.

Formasyon, altındaki Kartal formasyonu (Grovak-Şeyl) ile ve üstündeki Trakya formasyonuyla (Kumtaş-Şeyl-Kireçtaşı) uyumlu bir konumdadır. Birim daha önceleri PAECKELMANN (1938), ABDÜSSELAMOĞLU (1963), KAYA (1973) ve ÖNALAN (1981) tarafından incelenerek "Tuzla Formasyonu" (Büyükada Fm.) olarak adlandırılmıştır.

Çalışma sahasında dar bir alanda görülen birim, yaklaşık 0,06 km<sup>2</sup>'lik bir alanda yüzeylemektedir. Formasyon kalınlığı 100 metre olarak alınmıştır. Orta kalınlıkta ve düzenli bir tabakalanması vardır. Koyu gri-gri renklerde görülen bu kireçtaşı birimi genellikle 3-5 cm.'lik ufak kireçtaşı yumruları ile bunlar arasındaki kilara katıklarından (veya bandlarından) oluşmuştur. Defor-

masyonlar ile tabakalanmayı kesen kaya klivajları gelişmiştir. Oldukça sert, dayanıklı sağlam bir litoloji sunar. Yumrulu kireçtaşı birimi yer yer kalsit damarları ile kesilmiştir.

Petrografik analizinde kayanın mikritik (ince) bir dokuya sahip olduğu, yumruların oldukça homojen  $\text{CaCO}_3$ 'tan, ara katkıların ise karbonatlı kilden oluştuğu ve bu ara katkı bandları içinde az miktarda silt ve demiroksitleri ile bir miktar bitümün bulunduğu görülmüştür. Formasyonda aşınmalardan daha çok killi seviyelerin etkilendiği, bu seviyelerin yer yer eriyerek boşluklar oluşturduğu da gözlenir. Kita yamacı ortamında çökeldiği anlaşılan birimin yaşı Üst Devoniyendir.

### **Andezit ve Diyabaz**

Araştırma arazisinde geniş alanlar içinde yeralan Paleozoyik formasyonlarını zaman zaman dayk (damar)'lar şeklinde kesen, andezit ve diyabaz volkanizmaları mevcuttur. Bu damarların kırıklar boyunca yerleştigi anlaşılmaktadır.

Taze yüzeyleri yeşil, koyu yeşil renklerde görülen bu damar kayacıları, çoğun ayrılmış olması nedeniyle koyu sarımsı renkler sunar. Andezitler makrokristalin veya porfirik dokulu olmakla beraber daha geniş damar zonlarında yüzeylemektedir. Andezit damarları genellikle eski kırıkları (fayları) dolgulamış olup, kalınlıklarının 1/2 metre ile 25 metre arasında değiştiği gözlenir. Diyabazlar ise daha çok 10 cm. ile 100 cm.'yi geçmeyen dayk (damar)'lar şeklinde olduğu ve genç kırıklar (eklem takımları) arasına yerleştigi görülmektedir. Diğer bir gözlem de Diyabaz damarlarının bazen Andezit volkanitlerini kesmiş olmasıdır.

Gerek andezit gerekse diyabaz damarları, kesmiş oldukları yan (komşu) kayaçları, sıcak dokunuşlarıyla kontakt metamorfizmaya (değme başkalaşımı) uğratmışlardır.

Yapılan petrografik incelemelerde andezitin, porfirik dokulu, kristalin bir yapıya sahip olduğu, kristal tanelerinin orta büyüklükte (1 mm ile 5 mm) ve mikrokristalin bir hamur içinde dağılmış bir şekilde olduğu gözüktür. Diyabazın ise, mikrokristalin bir dokuya sahip olduğu, kristallerin hamur içinde ince çubuklar şeklinde (intersertal) bulunduğu görülür. Her iki volkanik damar kayacı da mineralojik bileşeni olarak başta Plagioklas olmak üzere Hornblend, Klorit ve az miktarda Kuvars katısklarını içerrir.

Andezit ve diyabazların, bölgedeki Üst Kretase volkanizması ile ilgili olarak, araştırma alanına yerleştigi anlaşılmaktadır.

### **Belgrad Formasyonu:**

Bu formasyon, arazide tepelerin üst kesimlerinde,

kendinden daha yaşlı birimler üzerinde uyumsuz olarak bulunmaktadır. Kızıl ve sarı renklerin tonlarında görülen birim, genellikle Paleozoyik formasyonları üzerine yatay örtüler şeklinde gelmiştir. Birim daha önce PAEKELMANN (1938), BAYKAL-KAYA (1963) ve EROSKAY (1978) tarafından incelenerek "Belgrad Formasyonu" olarak adlandırılmıştır.

Formasyon, tutturulmamış, blok, çakıl, kum, mil ve kil bileşenlerinden oluşmuştur. Litolojik elemanlar temeldeki Paleozoyik formasyonlardan türeyen kirintılar olup, bunların kökeni; ortokuvarsit, arkoz, şeyl, grovak, çört ve kireçtaşı kaynak kayalarıdır.

Çalışma alanı içerisinde tepelerde yatay örtüler şeklinde bulunan tabii dolgu niteliğindeki bu birimin yüzeylediği alan, yaklaşık  $0,04 \text{ km}^2$  dir. Formasyon kalınlığı ise, 1 metre ile 20 metre arasında değişmektedir. Tabakalanma arzetsmeyen formasyon karasal bir ortamı yansıtır. Birimin yaşı Pliyosendir.

### **Altıvyon**

Harita alanında Göksu deresinin KD koluun vadisinde yeralan birim, kendinden eski ve özellikle Paleozoyik grovak-şeyl ile kireçtaşı birimleri üzerinde uyumsuz olarak bulunur.

Çakıl, kum, mil ve kil'den oluşan birim, pekişmemiş gevşek bir litolojik topluluğu karakterize eder. Bu topluluğu oluşturan bileşenler, Göksu deresinin yatağı boyunca bulunan temel kayalardan kaynaklanan; daha çok kireçtaşı, ortokuvarsit, şeyl, grovak gibi kayalardan türemiştir.

Formasyon kalınlığı 1 metre ile 10 metre arasında değişim gösterir.

Karasal Akarsu çökeli olan Altıvyon'un yaşı Kuvaternerdır.

### **Toprak Örtüsü**

İnceleme alanında yerli kayalar üzerinde, ayrışma ürünü olarak, altındaki litolojiye göre gelişen "Toprak Örtüsü" en genç birim olup, sahada 0,5 metre ile 3 metre arasında değişen bir kalınlıktadır.

Kırmızı, koyu sarı ve açık kahve renklerde gözüken birim; gevşek, tutturulmamış; çakıl, kum, silt ve kil'den oluşur. Buna ek olarak bitkisel artıkları da katışık olarak içermektedir.

Arazide çok geniş bir alanda (yaklaşık  $1.5 \text{ km}^2$ ) yayılmış gösteren toprak örtüsü birimi, daha çok grovak-şeyl üzerinde gelişmiştir. Yaşı Kuvaterner olarak belirlenmiştir.

### **2.2. YAPISAL JEOLOJİ**

Çalışma alanı içerisinde önemli boyutlarda herhangi bir faya rastlanılmamakla beraber, arazinin çok kırıklı

ve kıvrımlı olduğu bir gerçektir. Haritaya alınamayacak kadar mikro boyutlu faylar ile eklem sistemlerinin ve kıvrımların yoğun oluşu sahadaki birimlerin deformasyonlarını açıkça göstermektedir.

Kırırm sistemleri genelde; kireçtaşlarında geniş dalgalı, grovak-şeyl biriminde ise sık dalgalı olarak gelişmiş olup, kıvrım eksenlerinin özellikle KD-GB doğrultularında olduğu görülmektedir.

Kırık sistemlerinde ise mikro faylarla eklem takımlarının, kireçtaşlarında daha büyük boyutlarda, grovak-şeyl biriminde ise, daha ufak boyutlarda geliştiği anlaşılmaktadır. Kırık sistemlerinin özellikle KB-GD ve D-B doğrultularında yoğunlaşlığı görülmektedir.

Bölge kıvrım ve kırık sistemlerinin Hersiniyen Orojenezi ile vücut bulduğu, Alpin orojenezi ile de ilişkili anlaşılmaktadır.

### 2.3. DEPREMSELLİK

İnceleme alanı "II. derece deprem bölgesi" içinde yer almaktadır. Bölge, "Kuzey Anadolu Fayı" zonunun kuzeyinde bulunduğuundan bu zon üzerindeki deprem odaklarından zaman zaman etkilenmektedir. Dolayısıyla "Tabii Dolgu Zeminler" ile "Yığma Dolgu Zeminler" üzerinde yer alan yapılar, depremlen, yerli kaya zeminler üzerindeki yapılardan daha fazla etkilenmişlerdir. 1869 tarihinden bu güne kadar geçen zaman sürecinde, İstanbul ili ve yakın çevresinde meydana gelen deprem Magnitüd (Ms) ve Şiddet (Io)'ları Richter ve Mercalli-Cancani ölçütleri içinde "Orta Derecelerde" görülmüştür. Diğer bir anlatımla bu tarihler arasında geçmiş olan depremlerin Magnitüdü (Ms) (Richter ölçüne göre); 4,3 ile 6,7 arasında, şiddetleri (Io) ise; 6 ile 8 arasında olmuştur. Bu depremlerin büyük bir çoğunluğunun, Marmara denizi güneyinden geçen Kuzey Anadolu Fayının bu kesimindeki merkez üstlerinden kaynaklandığı anlaşılmaktadır.

Buna göre İstanbul ili ve yakın çevresini içine alan bir sahanın Deprem Riski ve Yapı Ömrü (1869-1968 yılları arasında) ortalama değerleri aşağıda bir tablo ile belirtilmiştir. Bu tabloda (R)= yıllık riski, (Ms)= Richter magnitüdü, (Td)= Yapı ekonomik ömrü ve (Tr)= Deprem tekrarlama periyodunu ifade etmektedir (Çizelge 1).

Bu tablodaki ortalama değerler; İstanbul ve yakın dolayında 99 yıl içinde maydana gelmiş en şiddetli depremler gözönüne alınarak hesaplanmıştır. Buradan anlaşılaçığı üzere, örneğin ekonomik ömrü 50 yıl olan bir yapının maruz kalabileceği deprem magnitüdünün Ms= 5,57 veya daha fazla olması ihtimali R= % 15'dir. Bu depremin kendisini tekrarlama periyodu ise Tr= 308 yıldır. Aynı şekilde 30 yıllık bir ekonomik ömrü olan yapının da tekrarlama periyodu 185 yıldır.

Yapılan istatistiklere göre, İstanbul ve yakın çevresinde son 30 yıl içinde meydana gelmiş olan depremlerin magnitüdleri (Ms) maksimum (5.5), şiddetleri (Io) ise maksimum VI derecelerde olduğu görülmektedir. Bahsi geçen tarihler (1959-1989) arasında İstanbul yakın çevresinde oluşan depremlerin en önemlileri Çizelge 2'de verilmiştir.

Yukarıda belirtilen değer ve istatistiklere bakılarak son otuz yıl içinde (1959-1989) İstanbul ve çevresini etkileyen depremlerin magnitüdleri Ms=5.5'den şiddetleri ise Io=VI'dan yukarıda olmadığı görülmektedir.

Buna göre Kavacık mahallesindeki evlerin B tipi ve C tipi yapılar (\*) olduğu göz önüne alındığında, bu yapıların pek çoğunun son otuz yıldan önce inşa edilmediği bilindiğinden, buradaki söz konusu binaların depremlerden önemli hasarlar görümediği ve önemli derecede etkilenmemiş olduğu ortaya çıkmaktadır.

Çizelge 1: İstanbul için Deprem Risk, Magnitüd ve Yapı Ömrü Değerleri (1869-1968).

Yapı Cinsi	R %	Tr Ms	Td			
			1 Yıl	30 Yıl	50 Yıl	100 Yıl
Normal Yapılar	15	5.57	6.1	185	308	615
	10	5.92	9.5	285	475	950
Önemli Yapılar	5	6.49	19.5	585	975	1950
	2	7.23	49.5	1485	2475	4950
	1	7.78	99.5	2985	4975	9950

(\*): B tipi yapı — Yığma binalar  
C tipi yapı — Betonarme binalar

Çizelge 2: İstanbul ve yakın çevresinde son 30 yıl içinde meydana gelmiş olan en önemli depremlerin Magnitüd ve Şiddet verileri.

Tarih	Enlem-Boylam	Magnitüd ( $M_s$ )	Şiddet ( $I_o$ )
02.04.1959	40.50 - 29.41	4.6	V
26.09.1959	40.91 - 27.54	5.4	VI
12.06.1960	42.36 - 28.32	4.5	V
29.03.1963	40.29 - 26.15	5.1	VI
24.09.1963	40.08 - 28.90	4.8	V
20.10.1964	40.00 - 28.60	4.8	V
15.12.1964	40.02 - 28.79	4.6	V
28.08.1966	40.33 - 27.40	5.5	VI
04.04.1967	40.32 - 26.20	4.5	V
18.03.1968	40.83 - 30.53	4.5	V
05.03.1969	40.06 - 27.56	4.7	V
24.12.1969	40.50 - 28.40	4.5	V
30.03.1970	39.43 - 29.40	4.8	V
01.05.1971	40.90 - 27.99	4.6	V
17.03.1975	40.48 - 26.08	5.3	VI
21.05.1976	39.28 - 29.16	4.5	V
23.03.1977	39.63 - 28.65	4.6	V
15.06.1978	40.79 - 27.68	4.6	V
01.02.1983	40.17 - 28.95	5	VI
21.10.1983	40.32 - 29.37	5	VI
28.10.1984	40.06 - 29.35	5	VI

### 3: KAVACIK TAŞ OCAĞI PATLATMALARI VE ETKİLERİ

1989 Nisan ayı itibarıyla geometrisi, 1/5000 ölçekli jeoloji haritasında gösterilen Kavacık Taş Ocağı istihsal alanının (Ek I) değişik kesimlerinde, (Akartuna ve diğ., 1989) belirtilen tarihlerdeki patlatmalar ve bu patlatmalar da kullanılan jelatinit, ANFO, infilaklı fitil miktarları ile rôle sayılarına ait resmi kayıtlar verilmektedir. Burada belirtilen toplam patlayıcı madde miktarları düşey ve taban delikleri ile patlampa işlemi için açılan deliklerde kullanılmaktadır.

#### 3.1. TAŞ OCAĞINDA UYGULANAN DELİK DELME VE ATEŞLEME SİSTEMİ

İstihsal alanındaki basamak üzerinden delinen düşey delikler ile basamak dibine yakın kesimlerden tabana doğru belirli bir eğimde delinen taban delikleri hakkında karakteristik bilgiler şunlardır:

#### DÜŞEY DELİKLER

##### Delik Geometrisi

- Delik çapı: 65 mm (2 1/2 inç)
- Delik boyu: 12-15 m
- Basamak yüksekliği: 10-12 m
- Basamak eğim açısı: yaklaşık 80°
- Delik-şev yüzeyi arası mesafe: 2.3-3 m

Delikler arası mesafe: 2.3-3 m  
Delik sırası sayısı: 1-4 adet

##### Delik Patlayıcı Madde Şarjı ANFO Şarjı

1 m deliğe şarj edilebilecek ANFO miktarı:  
yaklaşık 3 kg.

Bir delikteki ANFO miktarı: 25-30 kg.

Bir delikteki ANFO şarjı boyu: 8-10 m

Delikteki sıkılık boyu: 2-3 m

ANFO, delik dibine yerleştirilen jelatinit dinamit lokumlarının üzerine şarj edilmektedir.

##### Jelatinit Şarjı

Jelatinit dinamit lokum çapı: 5 cm

Jelatinit dinamit lokum boyu: 50 cm

Jelatinit dinamit lokum ağırlığı: Yaklaşık 1 kg

Bir delikteki jelatinit lokum sayısı: 4 adet

Bir delikteki jelatinit miktarı: 4 kg

Infilaklı fitil dipteki jelatinit lokumuna takılmaktadır.

##### Infilaklı Fitil Bağlantısı

Infilaklı fitil türü: Seicord-10

Infilaklı fitil çapı: 5 mm

Infilaklı fitil içindeki patlayıcı madde türü: Pentrit

Düşey delik içindeki infilaklı fitil boyu: 12-15 m

Ateşleme devresinde basamak üzerindeki bir düşey

deliğe isabet eden infilaklı fitil boyu: yaklaşık 5 m  
İnfilaklı fitilin pentrit miktarı: 10 g/m

## TABAN DELİKLERİ

### Delik Geometrisi

Deliklerin basamak tabanına mesafesi: 2-4 m  
Delik boyu: 3 m  
Taban deliklerinin yatayla yaptığı açı: 60°—90°  
Taban delikleri arası mesafe: 3-5 m

### Delik Patlayıcı Madde Şarjı

#### ANFO Şarjı

Bir delikteki ANFO miktarı: 3 kg  
Bir delikteki ANFO boyu: 1 m

#### Jelatinit Şarjı

Bir delikteki jelatinit lokumu sayısı: 3 adet  
Bir delikteki jelatinit dinamik miktarı: 3 kg

#### İnfilaklı Fitil Bağlantısı

Ateşleme devresinde basamak düzüğündeki bir taban deliğine isabet eden infilaklı fitil boyu: yaklaşık 5 m  
Bir düşey delik ile taban deliği arası bağlantıda kullanılan infilaklı fitil boyu: yaklaşık 15 m.

### PATAR ATMA İŞLERİ

İşletmede yapılan bir patar atma işleminden alınan değerler şunlardır.  
Patar sayısı: yaklaşık 100 adet  
Patar hacmi: 0.5-2 m<sup>3</sup>  
Patarlamada kullanılan röle sayısı: 30 adet  
Bir delikteki jelatinit miktarı: yaklaşık 1 kg  
Kullanılan infilaklı fitil boyu: yaklaşık 750 m  
Patarlama işleri, genel ocak ateşlemelerinden bağımsız olarak yürütülmektedir.

### ATEŞLEME DEVRESİ TANZİMİ

Düşey ve taban delikleri, aralarında röle bulunan infilaklı fitil ile birbirine seri-paralel devre düzende bağlanmaktadır.

Rölelerde zaman aralığı 25 milisaniyedir. İnfilaklı fitil ateşlemesi uçlarında normal kapsül takılı 1.5'er metre boylarındaki iki saniyeli fitilin yakılması ile yapılmaktadır.

#### Bir gecikme aralığında atılan toplam dinamit miktarı hesabı

25.8.1986 - 3.4.1989 tarihleri arasındaki (Akartuna ve dig., 1989) belirtilen günlerde yapılan ocak ateşlemeleri kayıtları gözönüne alındığında:

Bir gecikme periyodu olan 25 milisaniye aralığında iki düşey delik ile bir taban deliğindeki toplam dinamitin ateşleniği anlaşılmaktadır.

Bu durumda bir gecikme aralığında ateşlenen dinamit miktarı:

$$ANFO = (30+30+3) \text{ Kg} = 63 \text{ Kg}$$

$$\text{Jelatinit} = (4+4+3) \text{ Kg} = 11 \text{ Kg}$$

$$\text{İnfilaklı fitil} = 0.01 \text{ Kg/m} \times (15+15+5+5+15+5)$$

$$m = 0.6 \text{ Kg}$$

Toplam şarj yaklaşık 75 Kg'dır.

### 3.2. DINAMİT ATEŞLEMESİ YAPILAN OCAK KEŞİMİ İLE YERLEŞİM BİRİMLERİ ARASI EMNİYETLİ MESAFE TAYİNİ

Dinamit ateşlemesi sonucu oluşan şok dalgaları havada ve ateşlenen kaya birimi içinde belirli bir hız, frekans ve genlikte yayılma göstermektedir. Bu yayılma, atım yerinden uzaklaşıkça sönümlenen hareket şeklidindedir. Şok dalgalarının, çevre yerleşim birimlerine hasar verebileceği mesafe aşağıda açıklanan bağıntılara göre hesaplanmıştır. Konu ile ilgili bağıntılarda değişken olarak; bir gecikme süresinde ateşlenen dinamit miktarı, atım yeri ile çevre yerleşim birimleri arasındaki mesafe ve kayaç türlerine ait katsayılar bulunmaktadır.

### HAVA ŞOKU ETKİSİ

Hava şoku aşağıdaki bağıntıdan hesaplanmaktadır. (CALZIA, 1969):

Şiddetli etki zonu:  $D < 5\sqrt{W}$

Orta şiddette etki zonu:  $5\sqrt{W} < D < 10\sqrt{W}$  (1)

Hafif şiddette etki zonu:  $10\sqrt{W} < D < 15\sqrt{W}$

Bu bağıntıda:

D: Dinamit atılan yer ile çevre yerleşim birimleri arasındaki etkili mesafe (m)

W: Bir gecikme aralığında atılan dinamit miktarı (Kg).

W: 75 Kg (bak. 3.1.) için Kavacık taş ocağı patlatmaları ile ilgili hava şoku etkileri aşağıdaki gibidir.

Şiddetli etki zonu: 0-45 m

Orta şiddette etki zonu: 45-90 m

Zayıf şiddette etki zonu: 90-130 m'dir.

### KAYAÇ İÇERİSİNDE YAYILAN TİTREŞİMLERİN ÇEVRE EVLERE ETKİSİ

Devine bağıntısı (DEVINE et.al, 1966):

$$V = K \left( \frac{D}{\sqrt{W}} \right)^{-1.6} \quad (2)$$

Çizelge 3: W:165 libre alınarak hesaplanan kayaç türüne bağlı K faktörü ve mesafeye göre değişen titreşim hızı (V) değerleri.

D (mesafe)		V (inç/sn)		V(mm/sn)	
		K		K	
feet	m.	26	260	26	260
164	50	0,442	4,42	11,23	112,30
213	50	0,291	2,91	7,391	73,91
246	75	0,231	2,31	5,867	58,67
328	100	0,146	1,46	3,708	37,08
492	150	0,075	0,75	1,905	19,05
656	200	0,047	0,47	1,194	11,94
689	210	0,045	0,45	1,143	11,43
722	220	0,042	0,42	1,067	10,67
755	230	0,039	0,39	0,991	9,91
787	240	0,036	0,36	0,914	9,14
820	250	0,034	0,34	0,864	8,64
984	300	0,025	0,25	0,635	6,35
1312	400	0,016	0,16	0,406	4,06
1640	500	0,011	0,11	0,279	2,79

Çizelge 4: W: 165 libre; K: 260 alınarak değişik meafelere göre hesaplanan bina temellerindeki titreşime hızı (Vo) değerleri.

D	V (mm/sn)	Vo(mm/sn)	
		1/5 V	1/2 V
50	112,30	22,46	5615
65	73,91	14,78	36,96
75	58,67	11,73	29,36
100	37,08	7,42	18,54
150	19,05	3,81	9,53
200	11,94	2,39	5,97
210	11,43	2,29	5,72
220	10,67	2,13	5,34
230	9,91	1,98	4,96
240	9,14	1,83	4,57
250	8,64	1,73	4,32
300	6,35	1,27	3,18
400	4,06	0,81	2,03
500	2,79	0,56	1,40

K: Kayaç türüne bağlı katsayı (26-260)

D: Dinamit atılan yer ile çevre yerleşim birimleri arasındaki etkili mesafe (feet)

W: Bir gecikme aralığında atılan dinamit miktarı (libre)

V: Kayaç içersinde yayılan titreşim hızı (inç/sn)

1 foot: 0,3048 m

1 libre: 0,4536 Kg

1 inç: 25,4 mm

W: 75 Kg (165 libre) dinamit ateşlemesi sonucu oluşan şok dalgaları titreşim hızının mesafeye bağlı olarak değişimi Çizelge 3'de verilmiştir.

Çizelge 5: Bina temeli titreşim hızı (Vo) değerlerine bağlı olarak dinamit atımı nedeniyle hasar görülebilecek bina türleri (FORSS-BLAND, 1981).

Vo (mm/sn)	Bina türü
2	Yıkılmaya yüz tutmuş çok eski tarihi binalar
5	Sıvılar biriket, kerpiç, yiğma tuğla evler.
10	Betonarme binalar.
10-40	Fabrika gibi, çok sağlam yapıda endüstriyel binalar.

Çizelge 6: Dinamit atılan kaya birimi ve bina temeli altındaki kayaç türüne bağlı olarak değişim gösteren K katsayıları asgari ve azami değerleri (ARMAC PRINTING COMPANY).

Dinamit atılan Kaya birimi	Temel altı Kayaç türü	K (Katsayıları)	
		Asgari	Azami
Kaya	Kaya	0,57	1,15
Kaya	Kil (Toprak)	1,15	2,30
Kil (Toprak)	Kaya	1,15	2,30
Kil (Toprak)	Kil (Toprak)	2,30	3,40

Bina temelindeki titreşim hızı (Vo) değerinin, kayaç içi titreşim hızının (V) 1/2 - 1/5'i kadar olduğu kabul edilmektedir (FORSS-BLAND, 1981).

W: 165 libre dinamit atımı sonucu çevre bina temellerinde oluşan titreşim hızı değerleri Çizelge 4'de verilmektedir.

Bina temellerinde oluşan titreşim hızlarına (Vo) göre binalarda ortaya çıkan etkiler Çizelge 5'de görülmektedir.

Çizelge 5'den bir binada hasar durumunun ortaya çıkması için bina temeli titreşim hızının (Vo) en az 5 mm/sn olması gözönünde bulundurulduğunda, Kavacık taş ocağındaki bir gecikme aralığında kullanılan 75 kg'lık şarjın etki mesafesi Çizelge 3'deki verilere göre 230 metre olarak bulunmaktadır.

### BİNALARDAKİ HASARLARIN TİTREŞİM GENLİĞİ YÖNÜNDEN İNCELENMESİ

Dinamit atımı sonucu oluşan titreşimlerin genliği aşağıdaki bağıntıdan hesaplanmaktadır (ARMAC PRINTING COMPANY).

$$A = \frac{K \sqrt{W}}{D} \quad (3)$$

#### Bina türü

Yıkılmaya yüz tutmuş çok eski tarihi binalar

Sıvılar biriket, kerpiç, yiğma tuğla evler.

Betonarme binalar.

Fabrika gibi, çok sağlam yapıda endüstriyel binalar.

A: Dinamit atımı sonucu oluşan titreşimlerin azami genliği (mm)

W: Bir gecikme aralığında atılan dinamit miktarı (Kg)

D: Dinamit atılan yer ile çevre yerleşim birimleri arasındaki etkili mesafe (m)

K: Kayaç türüne bağlı katsayı

Genlik değerinin 0,05 mm altında olması halinde binalarda hasar görülmmediği bilindiğinden (ARMAC PRINTING COMPANY), Kavacık taş ocağında;

$W=75 \text{ kg}$  ;  $K=1,15$  ;  $A=0,05 \text{ mm}$  değerleri kullanılarak (3) bağıntısından hesaplanan (D) etki mesafesi:

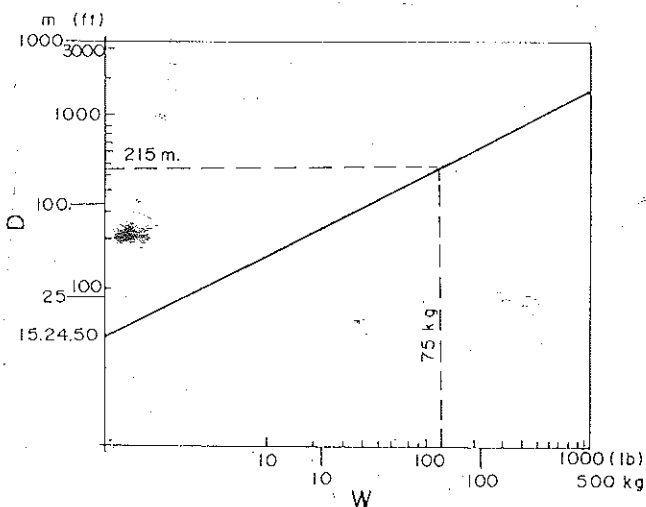
$$D = \frac{K \sqrt{W}}{A} = \frac{1,15 \sqrt{75}}{0,05} = 200 \text{ metredir.}$$

GECİKME ARALIĞI BAŞINA ATILAN DİNAMİT  
MİKTARI W (Kg-libre)  
ILE ETKİ MESAFESİ D (m-feet) ARASI GRAFİK-  
SEL İLİŞKİ

ICI NOBELS EXPLOSIVES firması tarafından verilen grafikten (Şek. 2)  $W=75$  kg (165 libre) dinamit atımı sonucu meydana gelen titreşimlerin etkili olabileceği mesafe değeri  $D=700$  feet, 215 metre okunmuştur.

LANGEFORS BAĞINTISI

$$K = \frac{W}{D^{3/2}} \quad (4)$$



Sekil 2: W-D arası ilişkiler grafiği.

LANGEFORS (1978) tarafından (4) bağıntısında:

W: Bir gecikme aralığında atılan dinamit miktarı (Kg)

D: Dinamit atılan yer ile çevre yerleşim birimleri arasındaki etkili mesafe (m)

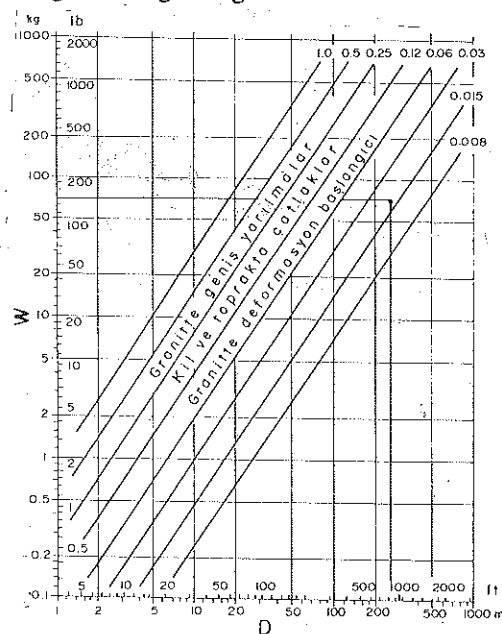
K: Kayaç türüne bağlı katsayıdır.

Şekil 3'de (4) bağıntısı ile ilgili grafik verilmiştir.

LANGEFORS bağıntısı  $W=75 \text{ kg}$  (165 libre) ve  $D=230 \text{ m}$  değerleri için  $K=0,0215$  değerini vermektedir.

$$K = \frac{75}{(230)^{3/2}} = \frac{75}{3488} = 0,0215$$

LANGEFORS grafiği  $K = (0,06-1,00)$  değerleri arasında en sert yapılı kayaçtan (granit) oluşan zemin ile en gevşek kayaç olan (kil-toprak) içerisinde deformasyon meydana gelebileceğini öngörmektedir.



**Şekil 3:** Kayaç türüne bağlı olarak değişim gösteren D-W arasındaki ilişki grafiği.

Çizelge 7'de K katsayısına bağlı olarak zeminde ve binalarda meydana gelebilecek hasar türleri verilmiştir.

Çizelge 7'den anlaşıldığı gibi, Kavacık taş ocağı ateşlemeleri ile ilgili olarak hesaplanan  $K = 0,0215$  katsayısı hasar sınırı değerleri dışında kalmaktadır. Kireçtaşı, grovak-şeyl, tabii dolgu ve topraklardan oluşan zeminlerde, atım yerinden 230 m mesafe dışında, ateşlemeler nedeniyle hasar meydana gelmesi teorik olarak mümkün görülmemektedir.

#### **4. BİNA HASAR DURUMLARI**

Bu çalışma kapsamında, Kavacık'ta müracaat konusu binalar için "Bina Hasar Durumu" anketi uygulanmıştır. Bu bölümde (Akartuna ve dig., 1989)'da sunulan 46 adet anket formundan 4 adedi mükerrer ve 2 adedi de bölge dışı adres olduğundan, toplam 40 adedi değerlendirmelere tâbi tutulmuştur (Şek. 4).

## Bina Türleri

40 adet binanın yarısı tek katlı, diğer yarısı ise 2 veya daha çok katlıdır. Bunlardan 11 adedi (%27) taş dolgu, 2 adedi (% 5) beton dolgu temelli yiğma bina olup, 27 adedi (% 68) ise betonarme temelli betonarme binalardır (Çizelge 8).

Çizelge 7: K katsayısı ve titreşim hızına (V) bağlı olarak zemin ve bina hasar sınırları.

K	V (mm/sn)	Zeminde ve Binalarda meydana gelebilecek hasar türleri
0,008	30	Sıva düşmeleri
0,015	50	Kırılma ihtimali mevcut değil
0,03	70	Kırılma emareleri görülmemektedir
0,06	100	İnce çatlaklar başlangıcı
0,12	150	Kırılmaların başlangıcı
0,25	225	Geniş yarılmalar
0,50	300	Tünel ve galerilerde taş düşmeleri ve göçükler
1,00		Kayaçlarda parçalanma

Çizelge 8: Kavacık'ta ankete konu olan binaların inşaat ve zemin özellikleri.

Bina Adedi	Bina Türü	Bina Kat Adedi	Zemin Türü	Zemin Meyil Durumu
13	Yığma	1	2: Kireçtaşı+toprağı 6: Grovak-şeyl+toprağı 5: Tabii dolgu	1: Yatay 12: Meyilli
7	Betonarme	1	3: Kireçtaşı+toprağı 5: Grovak-şeyl+toprağı	4: Yatay 23: Meyilli
20	Betonarme	≥2	3: Andezit ve toprağı 16: Tabii dolgu	

#### Bina Zemin Türleri

40 adet binanın 5 adedi (% 12) kireçtaşı ve toprağı, 11 adedi (% 27) grovak-şeyl ve toprağı, 3 adedi (% 8) andezit ve toprağı, 21 adedi (% 53) ise tabii dolgu zemin üzerinde inşa edilmiştir. 13 adet yığma binanın % 15'i kireçtaşı ve toprağı, % 46'sı grovak-şeyl ve toprağı, % 39'u ise tabii dolgu üzerindedir. 27 adet betonarme binadan % 11'i kireçtaşı ve toprağı, % 18'i grovak-şeyl ve toprağı, % 11'i andezit ve toprağı, % 60'ı ise tabii dolgu üzerinde bulunmaktadır.

Bu duruma göre bina hasar anketine konu olan tüm binaların yarısından fazlasına tabii dolgu üzerinde bulundukları anlaşılmaktadır.

#### Bina Zemin Meyili

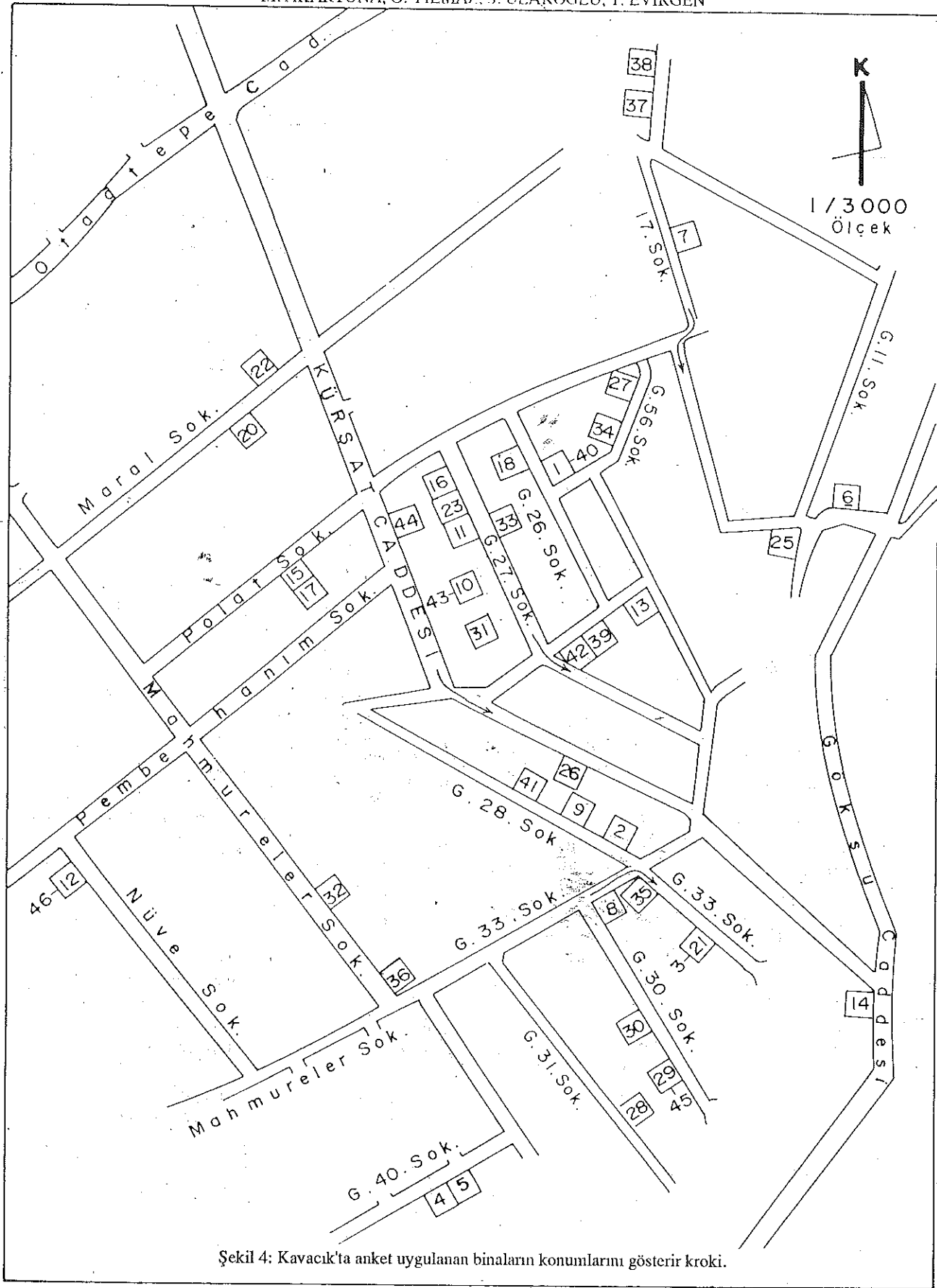
13 adet yığma binadan sadece 1 adedi ve 27 adet betonarme binadan ise sadece 4 adedi yatay zemin üzerinde inşa edilmiştir. Buna göre yığma binaların % 92'si, betonarme binaların ise % 85'i meyilli zeminde inşa edilmişlerdir.

#### Binaların Korunma Durumları

13 adet yığma binanın tümü korunmasız olup, 27 adet betonarme binadan sadece 3'ü korunmalıdır. Buna göre, toplam binaların % 92'si korunmasız durumdadır.

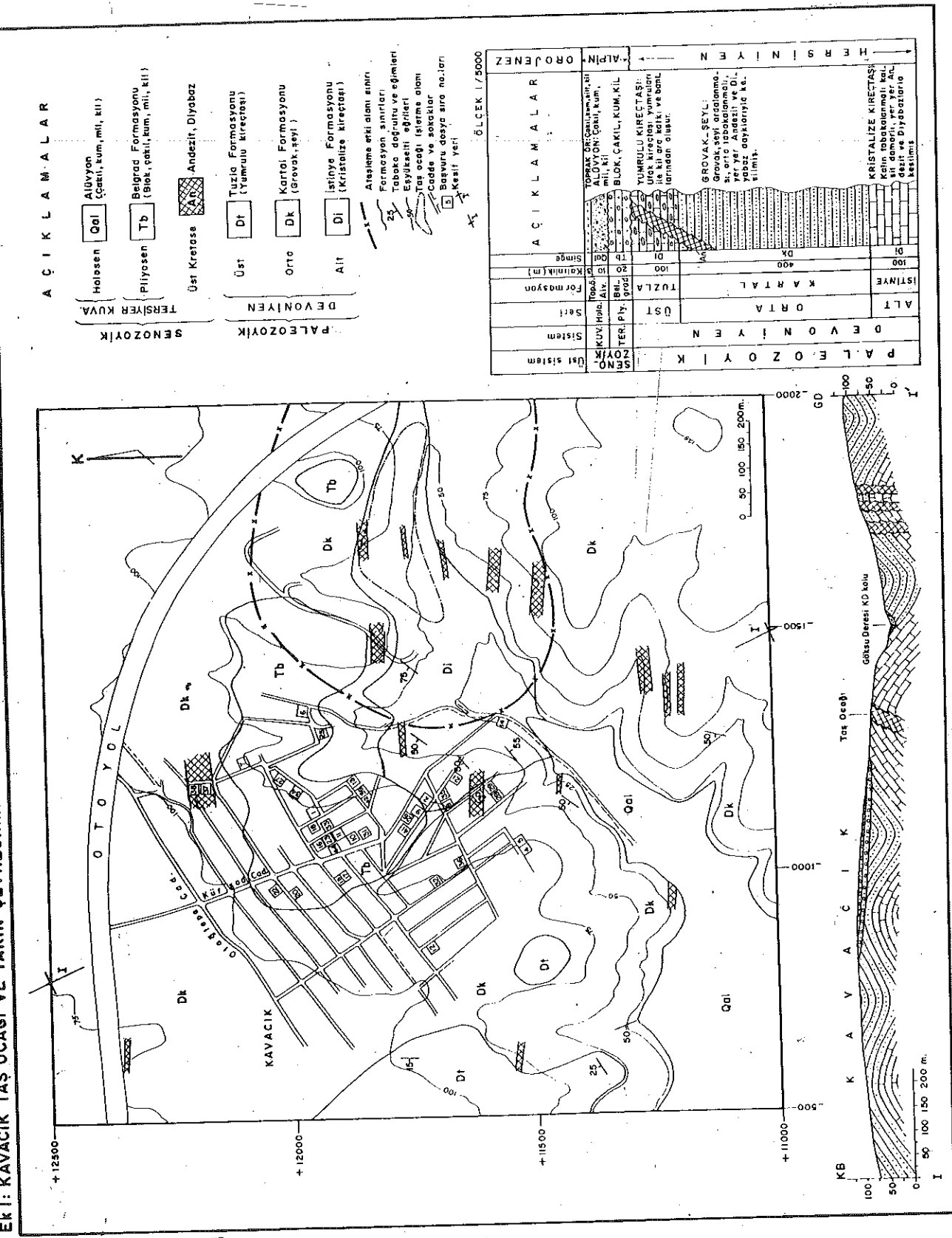
#### Binalardaki Çatlaklar

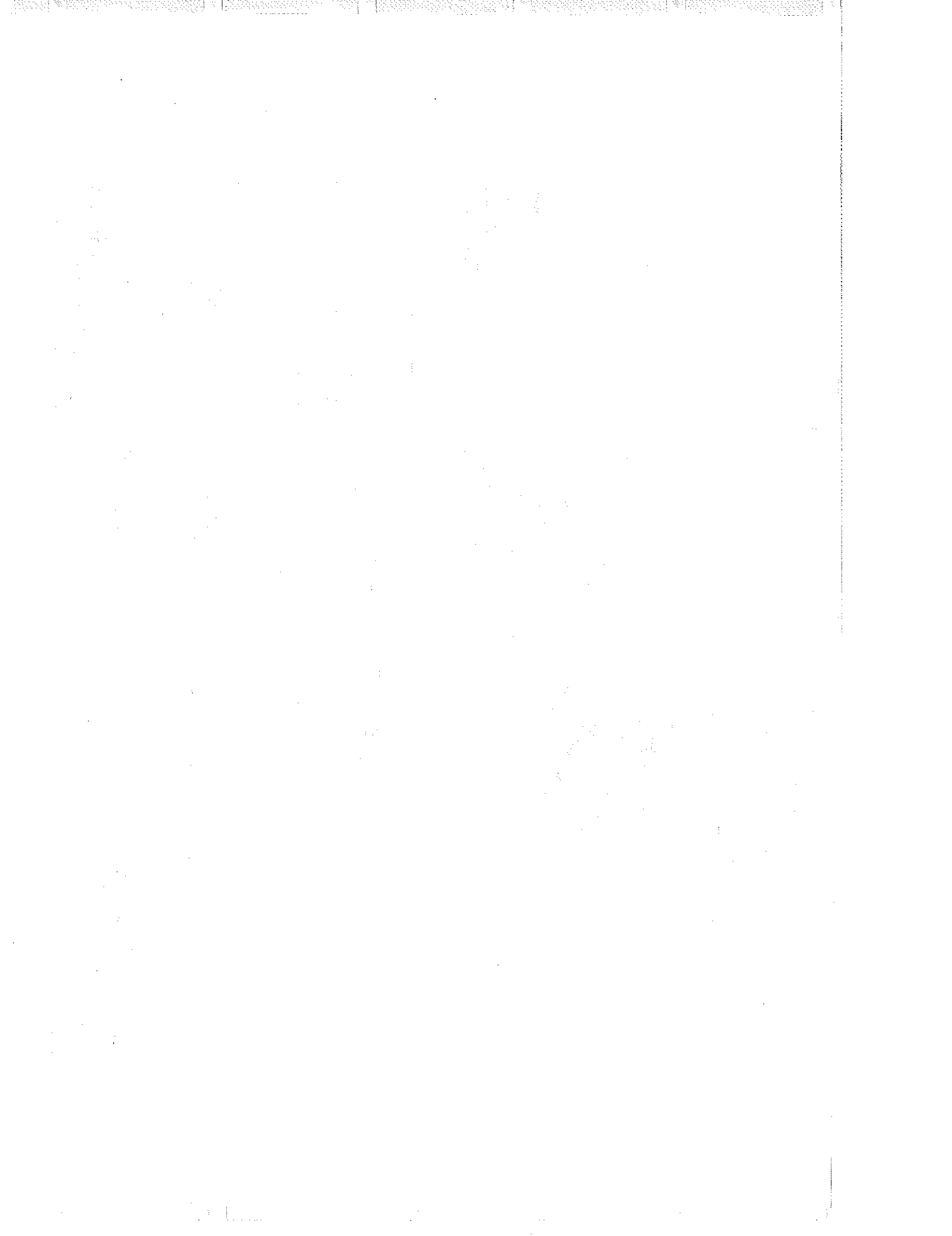
Yapılan anket sonuçlarına göre, çatlak türlerinin yığma yapıların; % 70'inde yatay çatlak, % 85'inde düşey çatlak, % 54'ünde dijagonal çatlak ve % 77'sinde ise yarıılma ve ayrılmalar mevcuttur. Betonarme binaların % 67'sinde yatay çatlak, % 70'inde düşey çatlak, % 59'unda dijagonal çatlak ve % 33'ünde ise yarıılma ve ayrılmaların bulunduğu tesbit edilmiştir (Çizelge 9). Bu değerlendirmelere göre; bina türü ne olursa olsun, yatay düşey ve dijagonal çatlaklar hemen hemen aynı oranlarda gelişmişken, yarıılma ve ayrılmaların yığma (% 77) binalarda betonarme (% 33) binalara nazaran 2 katından daha fazla olduğu ortaya çıkmaktadır.



Şekil 4: Kavacık'ta anket uygulanan binaların konumlarını gösterir kroki.

TURKISH JOURNAL OF EARTH SCIENCES





### Bina - Ocak Mesafeleri

Incelemeye konu olan binaların Kavacık taş ocağı istihsal alanı sınırlına olan uzaklıklarını ölçüldüğünde (bak. Ek I), bunların tümünün Bölüm 3'de belirlenen, atesleme-lerden etkilenen 230 metrelük mesafeden daha büyük olduğu görülmektedir (Çizelge 10). 40 binadan 2 adedi (% 5) 230-300 m. arasında, 13 adedi (% 32) 300-400 m arasında, 13 adedi (% 32) 400-500 m arasında ve 12 adedi (% 31) ise 500 m'den daha büyük uzaklıklarda yer almaktadır.

bu binaların belirtilen tarihler arasında geçmiş olan depremlerden ( $M_s=5,5$ ;  $Io=VI$ ) önemli derecede etkilenmemiş oldukları söyleyebilir.

7— Kavacık taş ocağında 25.8.1986-3.4.1989 tarihleri arasında yapılan ateslemelerde, atesleme devresi tanzimine göre iki düşey delige bir röle bağlılığı ve bir gecikme aralığında ortalamma 75 Kg dinamit patlatıldığı hesaplanmış olup, bu mikardaki şarjların dinamiyatılan yerden itibaren ölçülecek 230 metre dışında kalan binalarda ateslemeler nedeniyle hasar meydana gelmeyeceği sonucuna varılmıştır.

Çizelge 9: Kavacık'ta incelenen binalardaki çatılarının dağılım yüzdesleri.

Bina Türü	% Yatay Çatık	% Düşey Çatık	% Diyagonal Çatık	% Yarıılma/Ayrılma
Yığma	70	85	54	77
Betonarme	67	70	59	33

Çizelge 10: Bina-Ocak mesafelerinin uzaklık aralıklarına göre dağılımları

Bina Türü	Ocağa Uzaklık				
	0-230 m.	230-300m.	300-400m.	400-500m.	>500m.
Yığma	0	1	5	4	3
Betonarme	0	1	8	9	9

### 5. SONUÇLAR:

Kavacık taş ocağı patlatmalarının çevre binalara etkisinin belirlenesini konu alan bu çalışma ile, aşağıda sıralanan sonuçlara varılmıştır.

1— Kavacık taş ocağı ve yakın çevresinin 1/5000 ölçekli ayrıntılı "Jeoloji Haritası" yapılmış (Ek I) olup, buna göre ankete konu olan binaların yarısının (% 47) yerli kaya üzerinde, diğer yarısının (% 53) ise tabii dolgu üzerinde bulunduğu ortaya çıkmıştır.

2— Jeoloji haritası yapılan çalışma alanında, herhangi bir heyelan ve önemli bir kırık (fay)'a rastlanılmıştır.

3— İncelenen binaların zemin meyil durumuna bakıldığında, bunlardan büyük bir bölümünün (yaklaşık % 90) meyilli arazide inşa edildikleri görülmüştür.

4— Araştırma alanı içerisinde yer alan binaların içinde büyük bir bölümü (% 92) korunmasızdır.

5— Ankete konu olan 40 adet binadan, 13 adedi Yığma (B tipi) ve 27 adedi ise Betonarme (C tipi)'dır.

6— Sözkonusu binaların pek çoğunu son 30 yıl içerisinde (1959-1989) yapıldıkları gözönüne alındığında,

8— Titreşimlerin etkili olabileceği alanın sınırı 1/5000 ölçekli jeoloji haritasına çizilmiştir. Bir gecikme aralığında sözü edilen 75 Kg'dan fazla miktarda dinamitin patlatılması halinde etki mesafesinin yeniden hesaplanarak bulunacak değere göre hasar olabilecek alan sınırının yeniden çizilmesi gereklidir.

9— Kavacık'ta yapılan "Bina Hasar Durumu" anketlerine göre, bina türü ne olursa olsun (Yığma - Betonarme) yatay, düşey ve diyagonal çatıların hemen hemen aynı oranlarda gelişmiş oldukları, yarıılma ve ayırmaların ise yığma binalarda betonarme binalara nazaran iki katından daha fazla olduğu ortaya çıkmıştır.

10— Kavacık'ta müracaat konusu binaların hiç birisi 230 metre ile sınırlı ocak ateslemelarından etkilenen alan içinde bulunmamaktadır (Ek I). Oysa, 40 binadan % 5'i 230-300 m arasında, % 32'si 300-400 m arasında, % 32'si 400-500 m arasında ve % 31'i ise 500 m'den daha fazla uzaklıklarda yer almaktadır.

Bütün bu incelemelere göre, müracaat konusu binalardaki çatılar ve yarılmaların binaların inşaat özellikleri, zeminlerinin meyil durumları, bir bölümünün (% 53) tabii dolgu üzerinde oluşu ve ayrıca, Kavacık taş ocağındaki atesleme devrelerinde kullanılan röle (geçiktirici)'le-

rin toplam patlayıcı madde miktarına göre her zaman kontrollü olarak yerleştirilmemelerinden kaynaklandığı sonucuna varılmıştır.

#### 6. YARARLANILAN KAYNAKLAR

- Abdüsseleamoğlu, Ş. 1963:** İstanbul Boğazı doğusunda mostra veren Paleozoyik arazide stratigrafik ve paleontolojik yeni müşahadeler. M.T.A. dergi, S.60, ss.1-6, Ankara.
- Akartuna, M. 1953:** Çatalca-Karacaköy bölgesinin jeolojisi. İst. Üniv. Fen Fak. mon., S.13, İstanbul.
- Akartuna, M. 1963:** Şile şaryajının İstanbul Boğazı kuzey yakalarında devamı. M.T.A. dergi, no.61, ss.14-21, Ankara.
- Akartuna, M., Yılmaz, O. ve Ulakoğlu, S. 1989:** Kavacık taş ocağı patlatmalarının çevre binalara etkisinin belirlenmesi. İ. Ü. Müh. Fak. Jeoloji Mühendisliği Bölümü projesi, 92 s., İstanbul.
- Ariç (Sayar), C. 1955:** Haliç-Küçükçekmece gölü bölgenin jeolojisi. İ.T.U. yayını, İstanbul.
- Armac Printing Company — Explosives safe practice and storage. ICI - Nobel's explosives comp. limited, Ayrshire.**
- Ayhan, E. ve Diğerleri, 1981:** Türkiye ve Dolayları Deprem Kataloğu. Boğaziçi Üniversitesi Yayınevi, İstanbul.
- Baykal, F. ve Kaya, 0.1963:** İstanbul bölgesinde bulunan Karboniferin genel stratigrafisi. M.T.A. dergi, S.61, ss. 1-9, Ankara.
- Baykal, F. ve Kaya, 0.1966:** İstanbul Boğazı kuzey kesiminin jeolojisi. T.J.K. bülteni, C.X, S.1-2, ss.31-43, Ankara.
- Calzia, J. 1969:** Les substances explosives et leurs nuisances. Dunod éd., Paris.
- Devine, J.F., et al 1966:** Effect of charge weight on vibration levels from quarry blasting. U.S.B.M. Rpt. of Invest, 6774, 37 p.
- Eroskay, 0. 1978:** Kocaeli Yarımadası güneyindeki kireçtaşlarının hidrojeolojisi ve karst parametrelerinin analizi. TÜBİTAK-TBAG-124 projesi, 113 s., Ankara.
- Forsblad, L. 1981:** Vibratory soil and rock fill compaction Dyrapac, Stockholm.
- Gündoğdu, O. ve Altınok, Y. 1986:** Bilgi İşlem Merkezi Deprem Veri Seti. İst. Üniv., İstanbul.
- Haas, W. 1968:** Das Alt-Palaozoikum von Bithynien (Nordwest-Türkei). N.Jb. Geol. Palaont. Abh., 131-2, 178-242.
- Kaya, O. 1973:** Paleozoic of İstanbul. Ege Üniv. Fen Fak. yayın no. 40, İzmir.
- Langefors, U. 1978:** Rock blasting. Printed in Sweden by Almqvist and Wiksell, Uppsala.
- Oriard, L.L. 1971:** Blasting effects and their control in open pit mining. International conf. on stability in open pit mining, Vancouver.
- Önalan, M. 1981:** Pendik Bölgesi ile Adaların jeolojisi ve sedimenter özellikleri. İst. Üniv. Yerbilimleri Fak. doçentlik tezi (Yayınlanmamış), İstanbul.
- Paeckelmann, W. 1938:** Neue Beiträge zur Kenntnis der Geologie, Paleontologie und Petrographic der Umgegend von Konstantinopel. Abh. Preuss. Geol. Landesanst., N.F., 186, 202 p., Berlin.
- Tabban, A. 1971:** Türkiye'nin Sismisitesi. İmar ve İskân Bakanlığı yayını, Ankara.
- Tabban, A. 1980:** Kentlerin Jeolojisi ve Deprem Durumu. İmar ve İskân Bakanlığı, Ankara.
- Tabban, A. ve Gençoğlu, S. 1975:** Deprem ve Parametrelleri. İmar ve İskân Bakanlığı yayını, Ankara.
- Unesco, 1976:** Country Monograph of Turkey. Intergovernmental conference on assessment and mitigation of earthquake risk. Paris, February 10-19, Ankara.